

### III-45 不均等地盤と過圧密粘土の圧密計算法について

大阪市立大学工学部 正員 三笠 正人

一次元圧密の計算ではしばらかに問題でありますから、日常十分に考慮が払われてない2つの問題、不均等地盤の圧密と過圧密粘土の圧密をとりあげ、論識的、具体的な立場で論じてみたい。

**1. 不均等地盤の圧密** 図-1は大阪市港区の代表的な地盤状況である。この沖積および洪積粘土層は、どちらかといふと均一な粘土層と見なせる方であるが、それでも計算に用いる層厚や代表的な圧密諸係数の選定はなかなか難しい。沖積粘土について言えば、普通は-10~25mの範囲の圧密諸係数の平均値を用い、-9~26mくらいの圧密層を見て計算することにならうが、その外側も完全な透水層とは考えられず、上の選択が適当かどうか分らぬ。洪積粘土層は層厚は12mと明確に決められれば、圧密特性の代表値として機械的な平均値を用いてよいか疑問が残る。

一般の粘土層は上の例よりも更に不均一なことがしばらかであり、これを一様な粘土層と見なす場合の層厚と圧密諸係数の選定は計算者のengineering judgementに委されていふので、結果的に間違った選択をする危険も多いと思われる。

このように圧密特性が任意の分布を示す場合の方程式はSchüffmann & Gibson (Terzaghi理論の拡張)と筆者(筆者の理論の拡張)のものがみるが、実用的に必ずしも使いものではないので、次善の策として粘土層を適当に区切って多層地盤と見なし、層の境界における応力と透水量の連続性を考慮して計算する方法が浮上ってくる。

筆者の圧密方程式を用いた多層地盤の計算法については別に高田<sup>2)</sup>が報告するが、その計算例としては圧縮性( $C_s$ )が同一で長が異なる場合だけを扱っているので、ここでは圧縮性が異なる場合も含めて標準的な例題の計算結果を慣行の層厚換算法の結果と対比して示し、多層地盤の圧密の内容が単に“ $C_s$ の深さ方向の変化”として割り切れるものではないことを示したい。

粘土層は下面不通水、上面透水で、圧密特性の異なる上下各5mの2層地盤とする。一方を基準値  $m_{00}$ ,  $k_0$ ,  $C_{00}$  にとり他方の  $C_s$  が  $C_{00}$  の2倍、4倍、8倍と大きくなる場合を扱うが、具体的には次の4つのケースをとりあげる。

Case 1. 下層が基準値、上層がその2, 4, 8倍と増える。

Case 2. 下層が基準値、上層が  $m_{00}$  の  $\frac{1}{2}$ ,  $\frac{1}{4}$ ,  $\frac{1}{8}$  と減る。

Case 3. Case 1 を上下逆にする。

Case 4. Case 2 を上下逆にする。

別報<sup>2)</sup>の例題では正確な結果を得るために層厚変化も考慮し、さらに実験との照合では圧密中の  $C_s$  の変化まで考慮しているが、

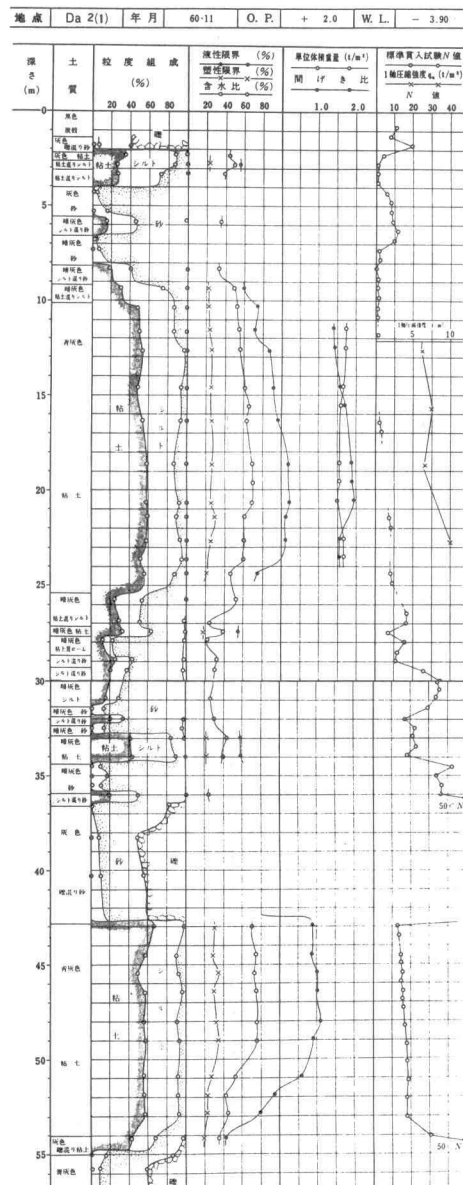


図-1 大阪市港区土質詳細図例  
(大阪地盤圖利)

ここでは標準計算の意味で最も簡単な熱伝導型の

$$\frac{\partial^2 \sigma}{\partial t^2} = C_v (\frac{\partial^2 \sigma}{\partial z^2})$$

の式による計算結果を図-2 (Case 1, 2), 図-3 (Case 3, 4) に示す。換算層厚法との比較の便宜上  $C_{v0} = 0.005 \text{ day}^{-1}$

にて実日数と圧密度の関係を示した。 $\sqrt{C_v}$  に反比例して層厚を変化する換算層厚法は、当然 4 つの Case も

同一の結果を与える。破線のようにながら、正しい計算では 4 つは全く異なる結果となるのである。一口に “ $C_v$  が大きい” といつても、長め大きい場合と  $m_v$  が小さい場合

との影響がむしろ正反対になるケース (Case 1 と 2) すらあるという事実は重要なである。図-1 の粘土層の上下端の遷移部は当然  $C_v$  が大きくなっているわけであるが、その内容が長の増加よりも (WL が減る) ではなく  $m_v$  の減少によるものであるとすれば、換算層厚法でその部分の層厚を縮めたり、engineering judgement で適当に切捨でたりするなどには問題があると言わねばならない。

2. 過圧密粘土の圧密 過圧密粘土 ( $P_c < P_f$ ) の圧密降伏応力  $P_f$  以上の荷重を受けるときの時間的経過については、先に不均等地盤の方程式を用いて計算例を示したが<sup>3)</sup>、これはかなり面倒で実用計算にはほど遠い。また最近もっと簡単に、圧密中の  $C_v$  の変化を考慮して均一粘土層の圧密方程式

$$\frac{\partial^2 \sigma}{\partial t^2} = C_v \left( \frac{\partial^2 \sigma}{\partial z^2} + d \frac{\partial \sigma}{\partial z} \left( \frac{\partial \sigma}{\partial z} \right)^2 \right)$$

を用い、過圧密域の  $-\log P$ ,  $-\log C_v$  に適当な曲線をあてはめる方法で計算し、納得できる結果を得たが、やはり実用計算としては面倒であり、ここでは説明は省く。普通の計算は、図-4 (b) のように  $\log P$  の関数として  $\log C_v$  をプロットして

おり、初期応力  $P_c$  から最終応力  $P_f$  までの  $C_v$  の平均値 (相加平均) を用いて熱伝導型の圧密計算を行なうことが多いようである。ところがその際  $P_f$  を境として  $C_v$  値が如何に急変するかこの方法には大いに問題がある。もし過圧密域の圧密量が無視できることは小工ければ、荷重 ( $P_f - P_c$ ) による沈下は瞬時に生じ (事实上沈下せず、しかも  $C_v$  が2倍), したがって全体の沈下は、はじめから  $P_f$  の応力を受けた粘土の荷重 ( $P_f - P_c$ ) によって正規圧密する場合と同じになる。すなわちこのとき過圧密域の大きさが  $C_v$  値は全く考慮に入れなければならないのである。

上の思考実験から、実用計算と 2 次の方法を提倡したい。すなわち  $C_v$  を図-4 (c) のように  $\log C_v$  (または  $e$ ) に対して  $\log C_v$  をプロットしておき、この図から  $\log C_v$  の平均値 (相加平均)；図上で考えられる範囲の面積を等しくするよう直線と引く) を読みとり用いる方法である。こうすると過圧密域、正規圧密域の沈下量に比例した重みをそれぞれの  $C_v$  値にかけにして、合理的である。詳細な検討は次の機会にゆずりたい。

圧密の数値計算には高田、守本の両君の手を煩わせて。こゝに謝意を表したい。

文献) 1) 土質工学ハンドブック 第6章, 2) 高田ほか; 粘状粘土地盤の圧密過程について 第34回土木学会, 1979

3) 三笠ほか; 過圧密から正規圧密にいたる圧密の計算例 第9回土壤工学, 1974 4) 守本秀夫; 學士論文, 1979

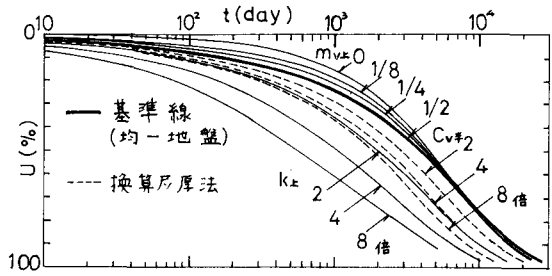


図-2 上層の  $C_v$  が大きい 2 層地盤の時間-圧密関係  
(case 1, case 2)

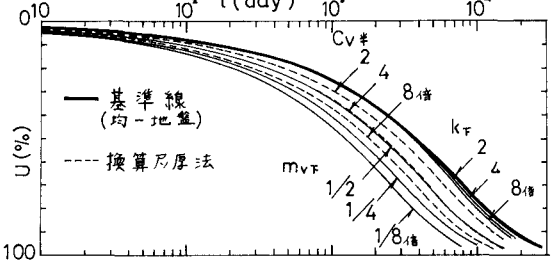


図-3 下層の  $C_v$  が大きい 2 層地盤の時間-圧密関係  
(case 3, case 4)

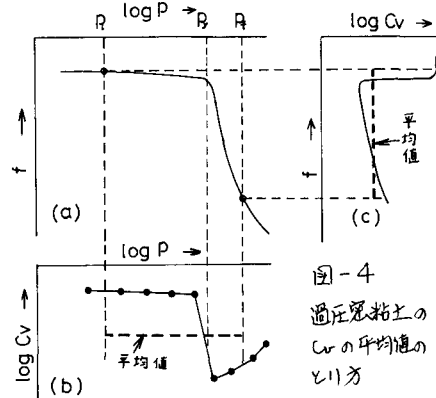


図-4  
過圧密粘土の  
 $C_v$  の平均値の  
求め方